(19) **日本国特許庁(JP)**

(12) 公 開 特 許 公 報(A)

(11)特許出願公開番号

特開2019-208936 (P2019-208936A)

最終頁に続く

TSZ 30283

(43) 公開日 令和1年12月12日(2019.12.12)

(51) Int.Cl.	F I			テーマコード (参考)	
A61B 1/00	(2006.01) A 6 1 B	1/00	521	2H040	
GO2B 23/24	(2006.01) A 6 1 B	1/00	7 3 1	4C161	
GO2B 23/26	(2006.01) A 6 1 B	1/00	513		
	GO2B	23/24	В		
	GO2B	23/26	В		
	審査請求 オ	請求請求項	iの数 16 O L	(全 18 頁)	最終頁に続く
(21) 出願番号	特願2018-108279 (P2018-108279)	(71) 出願人	000004112		
(22) 出願日	平成30年6月6日 (2018.6.6)		株式会社ニコン	/	
			東京都港区港南	二丁目15番	·3号
		(72) 発明者	佐藤 憲司		
			東京都品川区港	南二丁目15	番3号 株式
			会社ニコン内		
		(72) 発明者	内川 清		
			東京都品川区港	南二丁目15	番3号 株式
			会社ニコン内		
		(72) 発明者	齋藤 直洋		
			東京都品川区港	南二丁目15	番3号 株式
			会社ニコン内		
		(72) 発明者	藤井透		
			東京都品川区港	南二丁目15	番3号 株式

(54) 【発明の名称】観察装置、内視鏡装置及び内視鏡システム

(57)【要約】 (修正有)

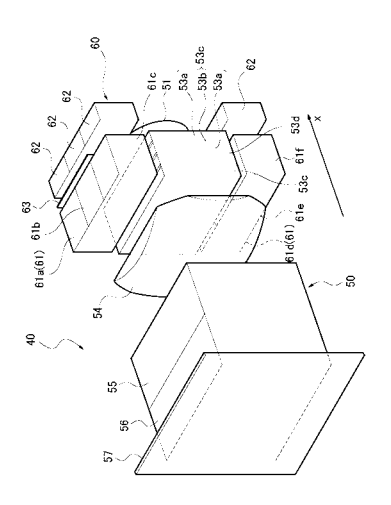
【課題】装置全体の小型化を実現でき、軟性内視鏡への 適用を可能とする観察装置、内視鏡装置及び内視鏡シス テムを提供する。

【解決手段】観察装置40は、対象物に照射される光であってそれぞれ異なる偏光状態を有する光を生成する複数の偏光生成部60と、対象物からの光を検出する検出部50たと、を備え、複数の偏光生成部60が検出部50の周囲に配置されている。従って、従来の装置のように回転位相差板を回転させる構成を設けることなく、偏光生成部60が互いに異なる偏光状態を有する光を対象物に照射することができる。更に、検出部50が対象物からの光の偏光状態を観察するので、対象物からの戻り光を偏光状態を保ったままで内視鏡装置外に取り出す必要がない。よって装置全体の小型化を実現できる。

【選択図】図4

1

会社ニコン内



【特許請求の範囲】

【請求項1】

対象物に照射される光であってそれぞれ異なる偏光状態を有する光を生成する複数の偏 光生成部と、

前記対象物からの光を検出する検出部と、

を備え、

前記複数の偏光生成部が前記検出部の周囲に配置されている観察装置。

【請求項2】

円偏光を生成する前記偏光生成部を含む少なくとも 4 つの前記偏光生成部を有する請求 項 1 に記載の観察装置。

【請求項3】

円偏光を生成する前記偏光生成部は、入射する光の偏光状態を変換して出射させる偏光 変換素子として 1 / 4 波長板を有する請求項 2 に記載の撮像装置。

【請求項4】

前記複数の偏光生成部のそれぞれは、入射する光の偏光状態を変換して出射させる偏光 変換素子と、前記偏光変換素子の前記対象物側に配置されて前記偏光変換素子から出射す る光を発散する発散光学素子とを有する請求項1~3のいずれかに記載の観察装置。

【請求項5】

前記発散光学素子から出射される光の半画角が15度以内である請求項4に記載の観察装置。

【請求項6】

前記複数の偏光生成部には、狭帯域で偏光状態が解消された光が入射される請求項1~5のいずれかに記載の観察装置。

【請求項7】

前記検出部による前記対象物の検出範囲は、前記複数の偏光生成部により生成された光の前記対象物の照射範囲の少なくとも一部である請求項1~6のいずれかに記載の観察装置。

【請求項8】

前記検出部は撮像素子を有し、

前記検出部の光軸方向から見て、前記複数の偏光生成部の少なくとも一つの少なくとも 一部が前記撮像素子に重複するように、前記複数の偏光生成部が配置されている請求項1 ~ 7のいずれかに記載の観察装置。

【請求項9】

前記複数の偏光生成部は、前記検出部を挟んで二群に分けられて配置されている請求項1~8のいずれかに記載の観察装置。

【請求項10】

前記複数の偏光生成部は、前記検出部の光軸に対して一方の側に配置されている請求項1~8のいずれかに記載の観察装置。

【請求項11】

前記複数の偏光生成部は、前記検出部の周囲に環状に配置されている請求項1~8のいずれかに記載の観察装置。

【請求項12】

前記複数の偏光生成部及び前記検出部は、同一の管部材内に配置されている請求項1~11のいずれかに記載の観察装置。

【請求項13】

被検体の体腔内に挿入される管部材を有する挿入部と、

前記挿入部の先端部を操作する操作部とを有し、

前記請求項1~12のいずれかに記載の前記観察装置が前記挿入部の前記先端部に配置されている内視鏡装置。

【請求項14】

50

10

20

30

前記挿入部は、前記観察装置の前記複数の偏光生成部に光を導く光ファイバを有する請 求項13に記載の内視鏡装置。

【請求項15】

前記観察装置の前記検出部により検出された光に関する情報を前記挿入部を介して前記 内視鏡装置の外部に送信する請求項13または14に記載の内視鏡装置。

【請求項16】

請求項14または15に記載の前記内視鏡装置と、

前記内視鏡装置の前記光ファイバに光を供給する光源とを有する内視鏡システム。

【発明の詳細な説明】

【技術分野】

[0001]

本発明は、観察装置、内視鏡装置及び内視鏡システムに関するものである。

【背景技術】

[0002]

偏光した光を使用し、消化器、特に、胃壁の偏光異方性を持つ粘膜層から戻る戻り光の 非偏光の光の割合、すなわち戻り光の偏光度に基づいて粘膜層の厚みを算出することによ り、胃壁の粘膜層の厚さの変化を検出し、これにより、がんの浸潤度を診断できる可能性 があることが知られている。(特許文献1参照)。

【先行技術文献】

【特許文献】

[0003]

【 特 許 文 献 1 】 特 許 第 5 5 0 1 1 5 5 号 公 報

[0004]

しかしながら、上述の特許文献1に開示された技術では、偏光撮像系を構成する偏光照 射 部 及 び 撮 像 部 に そ れ ぞ れ 回 転 位 相 差 板 を 用 い て お り 、 偏 光 状 態 を 変 更 す る た め に こ の 回 転位相差板を回転駆動させる必要がある。従って、偏光撮像系の大型化が避けられない。

【発明の概要】

[0005]

本発明の観察装置は、対象物に照射される光であってそれぞれ異なる偏光状態を有する 光を生成する複数の偏光生成部と、対象物からの光を検出する検出部とを備え、複数の偏 光生成部が検出部の周囲に配置されている。

【図面の簡単な説明】

[00006]

【 図 1 】 第 一 の 実 施 の 形 態 で あ る 観 察 装 置 が 適 用 さ れ る 内 視 鏡 装 置 の 要 部 を 示 す 斜 視 図 で ある。

【 図 2 】 第 一 の 実 施 の 形 態 で あ る 観 察 装 置 が 適 用 さ れ る 内 視 鏡 シ ス テ ム の 概 略 構 成 を 示 す ブロック図である。

【図3】第一の実施の形態である観察装置を示す断面図である。

【図4】第一の実施の形態である観察装置を示す斜視図である。

【図5】第一の実施の形態である観察装置を示す斜視図である。

【図6】第一の実施の形態に係る内視鏡装置の挿入部の先端部の概略構成を示す図である

【 図 7 】 第 一 の 実 施 の 形 態 で あ る 観 察 装 置 に お け る 、 偏 光 照 明 部 か ら 出 射 す る 光 の 偏 光 状 態の関係を示す図である。

【図8】第二の実施の形態である観察装置を示す斜視図である。

【図9】第三の実施の形態である観察装置を示す斜視図である。

【図10】第三の実施の形態である観察装置を示す斜視図である。

【 図 1 1 】第 四 の 実 施 の 形 態 に 係 る 内 視 鏡 装 置 の 要 部 を 示 す 斜 視 図 で あ る 。

【図12】第四の実施の形態に係る内視鏡装置の挿入部の先端部を示す斜視図である。

【図13】図12のA-A線に沿った矢視断面図である。

10

20

30

40

【発明を実施するための形態】

[0007]

以下、実施の形態を図面に基づいて説明する。

[00008]

(第一の実施の形態)

図1及び図2を参照して、第一の実施の形態である観察装置が適用される内視鏡装置及び内視鏡システムについて説明する。

[0009]

図1は第一の実施の形態である観察装置が適用される内視鏡装置の要部を示す斜視図であり、図2は第一の実施の形態である観察装置が適用される内視鏡システムの概略構成を示すブロック図である。

10

[0010]

これらの図において、本実施の形態に係る内視鏡システム1は、内視鏡装置10および 本体部20を有する。

[0011]

内視鏡装置10は、人体等の被検体の体腔内に挿入部11の先端部12が挿入され、被 検体内の粘膜内面等の対象物に光を照射する。また、内視鏡装置10は、対象物からの戻 り光を撮像し、対象物像の画像信号を取得する。

[0012]

本体部20は、内視鏡装置10の先端部12から照射される光を発生する光源26を有し、内視鏡装置10が取得した画像信号に対して各種画像処理を行う。

20

[0 0 1 3]

図1に示すように、内視鏡装置10は、挿入部11、操作部13、および、コネクタ部14を有する。挿入部11は、可撓性(つまり軟性)を有する管部材11aを有し、細長形状を有する。操作部13は、挿入部11の先端部12が行う湾曲操作や観察操作を操作する。コネクタ部14は、内視鏡装置10を本体部20に着脱自在に接続する。

[0014]

図2に示すように、本体部20は、制御部21と、記憶部22と、画像処理部23と、 検出部ドライバ24と、光源ドライバ25と、光源26と、集光レンズ27と、ディスプレイコントローラ28と、入力インタフェース(I/F)29とを有する。本体部20は、光学コネクタ30及び電気コネクタ31により内視鏡装置10に接続されている。

30

[0015]

制御部 2 1 は C P U 等の演算素子を有し、記憶部 2 2 に格納されている図略の制御用プログラムが起動時に読み出されてこの制御部 2 1 において実行される。これにより、制御部 2 1 は、画像処理部 2 3、検出部ドライバ 2 4、光源ドライバ 2 5、ディスプレイコントローラ 2 8 及び入力インタフェース 2 9 を含む内視鏡システム 1 全体の制御を行う。

[0016]

記憶部22はハードディスクドライブ等の大容量記憶媒体及びROM、RAM等の半導体記憶媒体を備える。この記憶部22には上述の制御用プログラムが格納されているとともに、制御部21の制御動作時に必要とされる各種データが一時的に格納される。また、記憶部22には、画像処理部23によって処理がされた画像データが格納される。

40

[0017]

画像処理部23は、内視鏡装置10の検出部50により撮像された対象物像の画像信号を取得し、この画像信号に対して各種画像処理を行う。画像処理部23は、画像処理結果をディスプレイコントローラ28に出力する。検出部50及び画像処理部23により行われる画像処理の詳細については後述する。

[0018]

検出部ドライバ 2 4 は、検出部 5 0 に対して、この検出部 5 0 を駆動する信号を発生して検出部 5 0 に供給する。

[0019]

10

20

30

40

50

光源 2 6 は内視鏡装置 1 0 の先端部 1 2 から照射される光を発生するものであり、光源ドライバ 2 5 により駆動される。本実施の形態に係る光源 2 6 は狭帯域でかつ空間的コヒーレンスが低く、スペックルが除去された光を発生する。光源 2 6 が発生する光の波長帯域は目的に応じて 3 5 0 n m から 8 5 0 n m の間で 1 波長または複数波長を選択し、その帯域幅は 5 n m 以下、好ましくは 3 n m 程度とされる。帯域幅の関係で、このような光源 2 6 はレーザー光源から構成されることが好ましいが、LED光源にバンドパスフィルタを付加したものであっても同様に狭帯域な光を発生することができる。

[0020]

光源26が発生する光の波長帯域及び帯域幅は、検出部50のイメージセンサ57上にどの程度の本数及び幅の干渉縞を発生させるかによって定められることが好ましい。

[0021]

光源 2 6 により発生された光は、集光レンズ 2 7 により一定幅の光束に収束され、光学コネクタ 3 0 を介して内視鏡装置 1 0 の光ファイバ 1 5 内に導光される。

[0 0 2 2]

ここで、本実施の形態に係る内視鏡システム 1 の本体部 2 0 には光源 2 6 が 1 つのみ設けられる。一方、後述するように、光ファイバ 1 5 は観察装置 4 0 の偏光生成部 6 0 の個数に等しい 6 本設けられている。このため、光源 2 6 と集光レンズ 2 7 との間には切替部 2 6 a が設けられている。この切替部 2 6 a は、光源 2 6 からの光をいずれか一本の光ファイバ 1 5 内に導光する。また、切替部 2 6 a は、それ以外の光ファイバ 1 5 への光を遮断する。

[0023]

ディスプレイコントローラ 2 8 は、画像処理部 2 3 からの出力である画像信号を、本体部 2 0 の外に設けられたディスプレイ 3 2 の画面に表示させるためのディスプレイ駆動信号を発生し、これをディスプレイ 3 2 に供給する。

[0024]

入力インタフェース 2 9 は、本体部 2 0 の外に設けられたキーボード等の入力装置 3 3 からの操作入力信号を受け入れ、これを制御部 2 1 に供給する。

[0025]

そして、本実施の形態である観察装置 4 0 は、図 3 及び図 6 に示すように、内視鏡装置 1 0 の挿入部 1 1 の先端部 1 2 に設けられている。

[0026]

以下、図3~図7を参照して、本実施の形態である観察装置40について説明する。なお、以下の説明では主に光学素子及び光路について説明を行う関係で、図3~図7においては検出部50と本体部20とを結ぶ電気回路や内視鏡装置10の被覆等他の構成についての詳細な説明は省略する。

[0027]

本実施の形態である観察装置 4 0 は、対象物からの光を検出する検出部 5 0 と、この検出部 5 0 の周囲に配置され、それぞれ異なる偏光状態を有する光を生成して対象物に照射する 6 つの偏光生成部 6 0 とを有する。これら検出部 5 0 及び偏光生成部 6 0 は、図 3 及び図 6 に示すように、内視鏡装置 1 0 の挿入部 1 1 の管部材 1 1 a 内に収納されている。

[0028]

なお、図3以降において図示するように、検出部50の光軸方向に×軸を取っている。 そして、×軸の正方向を対象物に向かう方向とする。

[0029]

検出部50は、図3に示すように、前群レンズ51、絞り52、偏光分離部53、結像レンズ54、偏光板55、保護ガラス56及びイメージセンサ57を有する。前群レンズ51は、検出部50において対象物側(図3において右端)に配置されている。絞り52は円環状に形成され、前群レンズ51の出射側に配置されている。偏光分離部53には絞り52から出射される光が入射される。結像レンズ54は、偏光分離部53から出射される光の干渉縞を後述するイメージセンサ57の撮像面57a上に結像させる後群レンズで

10

20

30

40

50

ある。検光子である偏光板 5 5 及び保護ガラス 5 6 は、イメージセンサ 5 7 の撮像面 5 7 a の前方(図 6 において右方)に順に配置されている。イメージセンサ 5 7 は、撮像素子であり、その撮像面 5 7 a に結像された干渉縞を撮像する。

[0030]

検出部50は、後に詳述する6つの偏光生成部60による対象物の照明範囲の共通部分の少なくとも一部をその検出範囲とするように設計されており、より好ましくは、6つの偏光生成部60による全照明範囲よりも撮像範囲が広くなるように設定されている。あるいは、検出部50の検出範囲に応じて、この検出範囲を偏光生成部60による対象物の照明範囲の共通部分の少なくとも一部とするように偏光生成部60を設計してもよい。検出部50の検出範囲に生成した偏光が照射されるように、複数の偏光生成部60のそれぞれの出射角度を設定してもよい。この場合、複数の偏光生成部60のそれぞれの配置状態を調整してもよい。このように偏光生成部60による対象物の照明範囲と検出部50の検出範囲とを設定することで、対象物からの戻り光を検出部50により確実に検出することができる。

[0031]

[0032]

サバール板 5 3 c は、複屈折性を有する一対の平行平面板 5 3 a を、その光軸が 9 0 ° 異なるように貼り合わせてなる。そして、このサバール板 5 3 c に入射する光が異なる偏 光状態が重なり合った光であった場合、異なる偏光状態の光を分離して出射させる。

[0033]

偏光分離部53から出射された光は結像レンズ54により収束され、偏光板55及び保護ガラス56を通してイメージセンサ57の撮像面57a上で結像する。そして、異なる偏光状態の光がこの撮像面57a上で干渉して干渉縞を形成する。

[0 0 3 4]

イメージセンサ 5 7 は、その撮像面 5 7 a 上に結像した光を撮像し、その結果を画像信号として出力する。本実施の形態におけるイメージセンサ 5 7 は、上述のように撮像面 5 7 a 上に形成される干渉縞を撮像するため、微細な干渉縞が撮像可能な解像度を有している。撮像面 5 7 a 上に形成される干渉縞の本数及び幅は、既に説明したように、光源 2 6 が発生する光の波長帯域及び帯域幅に依存する。

[0035]

次に、偏光生成部60は、図4及び図5に示すように、1枚の偏光板(偏光変換素子)61a~61fと、この偏光板61a~61fの出射側に配置された平凹レンズ(発散光学素子)62とを有する。また、一部の偏光板61a、61bと平凹レンズ62との間には1/4波長板(偏光光学素子)63が配置されている。1/4波長板63が配置されている場合、1枚の偏光板61a、61b、1/4波長板63及び平凹レンズ62により偏光生成部60が構成される。なお、以下の説明及び図示において、偏光板61a~61fの位置を特定せずに一般的に示す場合は、符号61により代表して説明する。

[0036]

図4及び図5に示すように、本実施の形態の観察装置40では、6つの偏光生成部60は二群に分けられて検出部50の周囲に配置されている。より詳細には、3つの偏光生成部60が偏光分離部53の図中下方に配置されている。また、6つの偏光生成部60は、検出部50の光軸方向である×軸に直交する同一面内に配置されている。

[0037]

また、図4及び図5に示すように、×軸に沿って見た場合、複数の偏光生成部60のそれぞれの一部がイメージセンサ57の一部と重複している。これにより、検出部50の光

10

20

30

40

50

軸方向から見た本実施の形態の観察装置40の外径をよりコンパクトにすることができる。この結果、観察装置40全体の小型化に寄与することができる。複数の偏光生成部60のうちの少なくとも一つの少なくとも一部が、検出部50の光軸方向にイメージセンサ57に重複するように配置されていればよい。

[0038]

本実施の形態において 6 つの偏光生成部 6 0 は、それぞれ異なる偏光状態を有する光を対象物に照射する。この点について以下詳細に説明する。

[0039]

光の偏光状態はストークスベクトルで記述することができ、このストークスベクトルは次式のように、4行1列のストークス行列で書き表すことができる。

【数1】

$$\mathbf{S} = \begin{bmatrix} s_0 \\ s_1 \\ s_2 \\ s_3 \end{bmatrix}$$

ここに、ストークス行列の各成分は、 s_0 が光強度、 s_1 が x_2 り 直線偏光、 s_2 が 4 5。 直線偏光、 s_3 が円偏光である。 s_0 は強度を表すため正の値を取る。 s_1 = s_0 とは 0 。 直線偏光であることを意味し、 s_1 = $-s_0$ は 9 0 。 直線偏光であることを意味する。 また、 s_2 = s_0 は 4 5 。 直線偏光であることを意味し、 s_2 = $-s_0$ は -4 5 。 直線偏光であることを意味する。 さらに、 s_3 = $-s_0$ は右回り円偏光であることを意味し、 s_3 = $-s_0$ は左回り円偏光であることを意味する。

[0040]

本実施の形態におけるそれぞれの偏光生成部 60、より詳細には偏光板 $61a\sim61f$ 及び 1/4 波長板 63 のそれぞれの組み合わせは、 $s_1=\pm1$ 、 $s_2=\pm1$ 、 $s_3=\pm1$ の 6 種類の偏光状態のいずれか一つの偏光状態を有する光を生成するように設定されている。

[0041]

具体的には、本実施の形態における6つの偏光生成部60では、図7に示すように、各々の偏光生成部60から出射される光のストークス成分がそれぞれ図示する成分となるように、偏光板61a~61fが選択され、また、1/4波長板63の配置位置が定められている。

[0042]

各々の偏光生成部 6 0 から出射される光の偏光状態をどのように異ならせるか、言い換えればどのようなストークス成分を有する光を出射させるかは任意に決定可能である。

[0043]

ここで、ストークス成分 s_1 は角度による偏光状態の変化が他の成分 s_2 、 s_3 よりも小さいので、ストークス成分 s_1 = + 1 を有する光を照射する偏光板 6 1 c 及びストークス成分 s_1 = - 1 を有する光を照射する偏光板 6 1 f が離れて配置されても問題ない。

[0044]

加えて、ストークス成分 s $_3$ = $_\pm$ 1 を有する光を照射する偏光板 6 1 a 、 6 1 b 及び 1 / 4 波長板 6 3 については、これら偏光板 6 1 a 、 6 1 b の出射側に配置される 1 / 4 波長板 6 3 を共通化でき、また、 1 / 4 波長板 6 3 を保持する図略のホルダを共通化できる観点から、これら偏光板 6 1 a 、 6 1 b を隣り合わせに配置するメリットがある。

[0045]

レンズ 6 2 は、偏光板 6 1 及び 1 / 4 波長板 6 3 から出射される光を発散し、対象物の所定の領域を照明する平凹レンズである。ここで、平凹レンズ 6 2 から出射される光の半画角が 1 5 度以内となるように、平凹レンズ 6 2 の光学設計がなされている。これは、半画角が 1 5 度以内であれば、偏光生成部 6 0 から照射された光の偏光状態は大きく変化しないからである。また、後に詳述する光ファイバ 1 5 の開口数 (NA: numerical apertu

re)を考慮しても、この光ファイバ15から出射する光の半画角も15度以内とされる。

[0046]

偏光生成部60に用いられる発散光学素子としての平凹レンズは、同様に光の発散効果を有する他の光学素子、例えばボールレンズと比較して、偏光性能が良いことから、本実施の形態の偏光生成部60として好適である。

[0047]

偏光生成部60には、図3及び図6で詳細に示すように、内視鏡装置10の光ファイバ15により光が導光される。光ファイバ15は、図3に示すように、内視鏡装置10の挿入部11の管部材11a内を挿入部11の長手方向に沿って延び、この挿入部11の先端部12にまで至ってその出射端15aが偏光板61の入射端(図3において左端)近傍に配置されている。

[0048]

この光ファイバ15は、光源26からの光の偏光状態を解消して(偏光スクランブルして)偏光生成部60まで導光するものであり、本実施の形態では、図6に示すように、コア15bの断面が略正方形でクラッド15cの断面外形が略円形のマルチモード光ファイバである。このような構成の光ファイバ15は、偏光板61の入射面に偏光解消された安定な光を供給でき、したがって偏光板61を通過した偏光状態は空間的及び時間的に安定な光強度を保つことができる。

[0049]

本実施の形態では、内視鏡装置10に偏光生成部60と同数、つまり6本の光ファイバ 15が設けられており(図3では2本のみ図示している)、これら光ファイバ15には単一の光源26から共通に光が導光される。従って、偏光生成部60からは、時分割的に偏 光状態の異なる光が対象物に照射されることになる。

[0050]

なお、本実施の形態である観察装置40を構成する各要素は、高温環境下における滅菌処理を行っても高い偏光計測精度が維持できるような材料で形成されている。具体的には、1/2波長板53b、53d及び1/4波長板63は水晶から構成されている。また、平凹レンズ62は光学ガラスから構成されている。さらに、偏光板61は無機材料またはワイヤーグリッドから構成されている。そして、サバール板53cを構成する平行平面板53aはYVO₄から構成されている。

[0051]

ここに、滅菌処理のオートクレーブは、一例として 1 1 5 で 3 0 分間、 1 2 1 で 2 0 分間、 1 2 6 で 1 5 分間、 1 3 4 で 1 0 分間のいずれかの条件で行われる。

[0052]

次に、本実施の形態である観察装置 4 0 を用いた内視鏡システム 1 によるストークス成分 $s_0 \sim s_3$ の測定方法の原理について説明する (K. Oka and N. Saito, "Snapshot complete imaging polarimeter using Savart plates", SPIE 6295-9, 1 (2006)参照)。

[0053]

イメージセンサ 5 7 により撮像された光の強度分布を I (x , y) とする。測定光に含まれるストークス成分の 2 次元分布をそれぞれ s $_0$ (x , y) 、 s $_1$ (x , y) 、 s $_2$ (x , y) 、 s $_3$ (x , y) とすると、これらストークス成分の 2 次元分布を用いて光強度分布を表すと次式のようになる。

【数2】

$$\begin{split} I(x,y) &= \frac{1}{2}S_0(x,y) + \frac{1}{2}S_2(x,y)cos[2\pi U_2 y] - \frac{1}{4}|S_{13}(x,y)|cos\{2\pi (U_2 - U_1)y - arg[S_{13}(x,y)]\} \\ &+ \frac{1}{4}|S_{13}(x,y)|cos\{2\pi (U_2 + U_1)y + arg[S_{13}(x,y)]\}, \end{split}$$

ここで

 $S_{13}(\sigma)=S_1(\sigma)+iS_3(\sigma),$

ここに、 a r g は複素数の偏角を示す関数であり、 U ₁ 及び U ₂ は、それぞれ 2 枚のサバール板 5 3 c により導入される空間キャリア周波数である。

10

20

30

[0054]

上式における s_0 (x , y) 、 s_2 (x , y) 及び s_{13} (x , y) は、これら(特に s_{13} (x , y) については実数成分及び虚数成分)がそれぞれ異なる 4 つの空間キャリ ア周波数 $f_y = 0$ 、 U_2 、 $U_2 - U_1$ 、 $U_2 + U_1$ を有することから、光強度分布 I (x , y) を空間周波数フィルタリングすることにより得られる。そして、これらストークス成分の 2 次元分布は、抽出された成分の振幅及び位相から得ることができる。この際、空間周波数フィルタリング及び振幅、位相の変調は、ストークス成分の 2 次元分布の変調に適した形にされたフーリエ変換技術により一度に行うことができる。

[0055]

そこで、内視鏡システム1の画像処理部23は、検出部50から出力される画像信号の強度の2次元分布を取得し、この強度の2次元分布をフーリエ変換することで、対象物からの戻り光の偏光状態、具体的にはストークス成分s₀~s₃の2次元分布を得る。

[0056]

そして、このストークス成分 s $_0$ ~ s $_3$ の 2 次元分布を用いて、対象物の偏光度を求めることができ、この偏光度に基づいて対象物の粘膜層の厚みを算出し、これにより、がんの浸潤度を診断することができる。

[0057]

対象物への入射光のストークス行列を S = (s $_0$, s $_1$, s $_2$, s $_3$) とし、この対象物からの戻り光のストークス行列を S = (s $_0$, s $_1$, s $_2$, s $_3$) とすると、これらストークス行列の関係は 4 行 4 列のミュラー行列 M により表される。すなわち、【数 3 】

$$\begin{bmatrix} S_0' \\ S_1' \\ S_2' \\ S_3' \end{bmatrix} = \begin{bmatrix} m_{00} & m_{01} & m_{02} & m_{03} \\ m_{10} & m_{11} & m_{12} & m_{13} \\ m_{20} & m_{21} & m_{22} & m_{23} \\ m_{30} & m_{31} & m_{32} & m_{33} \end{bmatrix} \begin{bmatrix} S_0 \\ S_1 \\ S_2 \\ S_3 \end{bmatrix}$$

[0058]

ここで、ミュラー行列 M の全 1 6 の要素 m $_0$ $_0$ ~ m $_3$ $_3$ の各要素と偏光の物理的特性との厳密な対応は難しいが、おおまかな関係としては、要素 m $_0$ $_0$ は輝度を表し、全 1 6 の要素 m $_0$ $_0$ ~ m $_3$ $_3$ は偏光度を表し、要素 m $_0$ $_1$ 、 m $_0$ $_2$ 、 m $_1$ $_0$ 及び m $_2$ $_0$ は二色性(直線複吸収)を表し、要素 m $_0$ $_3$ 及び m $_3$ $_0$ は円二色性(円複吸収)を表し、要素 m $_1$ $_1$ 、 m $_1$ $_2$ 、 m $_2$ $_1$ 及び m $_2$ $_2$ は旋光性(円複屈折)を表し、要素 m $_1$ $_1$ ~ m $_1$ $_3$ 、 m $_2$ $_1$ ~ m $_2$ $_3$ 及び m $_3$ $_1$ ~ m $_3$ $_3$ は複屈折性(直線複屈折)を表すものである。

[0059]

既に説明したように、本実施の形態である観察装置 4~0 によれば、 6~4 種類の互いに偏光状態の異なる光、言い換えれば、互いに異なるストークス成分(このストークス成分は全て既知である)を有するストークス行列(これを $S_1 \sim S_6$ と置く)により表される光を対象物に入射し、それぞれの光が反射して得られる対象物からの戻り光のストークス成分が検出可能である(このストークス成分からなるストークス行列を $S_1 \sim S_6$ と置く)。そして、対象物のミュラー行列 M は同一であるので、これらストークス行列 $S_1 \sim S_6$ 、 $S_1 \sim S_6$ からミュラー行列 M の各成分を求めることができる。

[0060]

すなわち、本実施の形態である観察装置40において、6つの偏光生成部60のうち4つを用いた場合、4つの行列式を解くことでミュラー行列Mの各成分は一意に定まる。また、6つの偏光生成部60を全て用いれば、最小二乗法を用いてミュラー行列Mの各成分を求めることができる。

[0061]

そして、戻り光のストークス行列 S = (S $_0$, S $_1$, S $_2$, S $_3$) のストークス成分の 2 次元分布がわかっているので、対象物のミュラー行列 M の各成分の 2 次元分布も求めることができる。これにより、対象物の偏光度の 2 次元分布を求めることができる。そして、この偏光度の 2 次元分布に基づいて対象物の粘膜層の厚みの 2 次元分布を算

10

20

30

40

出し、これにより、がんの浸潤度を診断することができる。

[0062]

以上のように構成された本実施の形態である観察装置40は、対象物からの光を検出する検出部50と、この検出部50の周囲に配置され、それぞれ異なる偏光状態を有する光を生成する6つの偏光生成部60とを有する。

[0063]

従って、従来の装置のように回転位相差板を回転させる構成を設けることなく、偏光生成部 6 0 が互いに異なる偏光状態を有する光を対象物に照射することができる。更に、検出部 5 0 が対象物からの光の偏光状態を観察するので、対象物からの戻り光を偏光状態を保ったままで内視鏡装置外に取り出す必要がない。

[0064]

従来の装置では、人体の外側に設置した偏光照射部からの偏光を、この偏光状態を維持したまま人体内部に誘導し、また、人体内部からの戻り光の偏光状態を維持したまま撮像部に取り出す必要があった。このため、従来の装置では偏光撮像系を腹腔鏡、つまり硬性内視鏡に適用することとなり、人体内部に挿入される部分が軟性の軟性内視鏡に適用することが困難であった。

[0065]

本実施の形態である観察装置40では、装置全体の小型化を実現でき、軟性内視鏡への適用を可能とする観察装置40を提供することができる。

[0066]

また、偏光生成部60は、入射する光の偏光状態を変換して出射させる偏光板61と、この偏光板61の対象物側に配置されて偏光板61から出射する光を拡散する発散レンズ62とを有する。このため、この偏光板61に入射する光の光軸とのなす角度を一定に抑制することができる。

[0067]

一般的に、偏光板61に入射する光が光軸に対してなす角度が大きくなると偏光板61の性能が変化してしまうので、この角度を一定に抑制することが好ましい。ここで、仮に、発散レンズ62の対象物側に偏光板61を配置すると、発散レンズ62により発散された光が光軸となす角度が大きくなり、この状態で偏光板61に入射すると、所望の性能を維持することが難しくなる。

[0068]

本実施の形態である観察装置40によれば、発散レンズ62を偏光板61の対象物側に配置しているので、偏光板61の性能を一定に維持することが可能となる。

[0069]

(第二の実施の形態)

第一の実施の形態である観察装置40では、偏光生成部60が偏光分離部53の上下にそれぞれ二群に分けられて配置されていたが、偏光生成部60の配置はこの第一の実施の形態に限定されない。

[0070]

図8は、第二の実施の形態である観察装置40を示す斜視図である。以下の説明において、第一の実施の形態と同一の構成要素については同一の符号を付して、その説明を簡略化する。

[0071]

図8に示すように、本実施の形態である観察装置40では、6つの偏光生成部60の全てが一群にまとめられて検出部50の周囲の一箇所に配置されている。より具体的には、6つの偏光生成部60は、検出部50の光軸に対して一方の側に配置されており、図示の例では、偏光分離部53の図中上方にまとめられて配置されている。

[0072]

図 8 に示す本実施の形態である観察装置 4 0 によっても、第一の実施の形態と同一の作用及び効果を得ることができる。

10

20

30

40

[0073]

(第三の実施の形態)

図9及び図10は、それぞれ第三の実施の形態である観察装置40を示す斜視図である

[0074]

図9及び図10に示すように、本実施の形態である観察装置40では、6つの偏光生成部60が検出部50の周囲に環状に配置されている。より具体的には、6つの偏光生成部60は、偏光分離部53の周囲に環状に配置されており、検出部50の光軸の周りにそれぞれ等間隔を置いて配置されている。

[0075]

図 9 及び図 1 0 に示す本実施の形態である観察装置 4 0 によっても、第一の実施の形態と同一の作用及び効果を得ることができる。

[0076]

特に、本実施の形態である観察装置40によれば、隣り合う偏光生成部60が生成して対象物に照射される光の角度の差を小さくすることができる。これにより、角度があることにより生じる偏光状態の変化を極力抑制した光を生成することができる。この結果、検出部50による光の検出の精度をより向上することができる。

[0077]

(第四の実施の形態)

図 1 1 は第四の実施の形態に係る内視鏡装置の要部を示す斜視図、図 1 2 は第四の実施の形態に係る内視鏡装置の挿入部の先端部を示す斜視図、図 1 3 は図 1 2 の A - A 線に沿った矢視断面図である。

[0078]

本実施の形態は、上述した第一~第三の実施の形態である観察装置40を、いわゆる親子式内視鏡に適用したものである。親子式内視鏡とは、親内視鏡となる通常サイズの内視鏡装置のワーキングチャンネルに、子内視鏡である細径の内視鏡を挿通させたものである (例えば特開2010-63772号公報参照)。

[0079]

図11に示すように、本実施の形態に係る親子式内視鏡装置100は、親内視鏡装置110と子内視鏡装置120とを有する。親内視鏡装置110は、第一の実施の形態に係る内視鏡装置10と同様に、挿入部111、操作部113、およびコネクタ部114を有する。

[0080]

親内視鏡装置110の挿入部111の内部にはワーキングチャンネル115が形成されている。ワーキングチャンネル115は、挿入部111内部に形成された中空筒状の通路である。このワーキングチャンネル115は、操作部113に形成された開口113aから、挿入部111の先端部112にまで至っている。ワーキングチャンネル115は、一般的に、鉗子等の処置具を親内視鏡装置110の先端部112にまで導くために用いられる。

[0081]

子内視鏡装置 1 2 0 も、第一の実施の形態に係る内視鏡装置 1 0 と同様に、挿入部 1 2 1、操作部 1 2 3、およびコネクタ部 1 2 4 を有する。子内視鏡装置 1 2 0 の挿入部 1 2 1 は親内視鏡装置 1 1 0 のワーキングチャンネル 1 1 5 内に挿通されている。

[0082]

図12及び図13に示すように、親内視鏡装置110の先端部112には、照明部116、撮像部117、およびノズル118が設けられている。照明部116は、対象物に光を照射する。撮像部117は、照明部116による光が照射された対象物からの光を撮像する。ノズル118は、対象物に水等を噴射する。上述したワーキングチャンネル115の開口115aはこの親内視鏡装置110の先端部112に形成されている。

[0083]

50

10

20

30

本実施の形態である観察装置140は、第一~第三の実施の形態である観察装置40のいずれかと略同一の構成を有する。観察装置140は、第一の実施の形態に係る内視鏡装置10と同様に子内視鏡装置120の先端部122に設けられ、親内視鏡装置110の先端部112にまで至っている。なお、図12では、観察装置140の配置状態を明確に図示するために、観察装置140がワーキングチャンネル115の開口115aから外方に突出するように図示されている。しかし、観察装置140により対象物を観察する際は、図13に示すように、観察装置140はワーキングチャンネル115内に収納されている

[0084]

従って、本実施の形態である観察装置140によっても、第一~第三の実施の形態と同一の作用及び効果を得ることができる。特に、本実施の形態によれば、既存の内視鏡装置 (親内視鏡装置110)を用いて、対象物の偏光観察を容易に行うことができる。

[0085]

以上、図面を参照して、実施の形態を詳述してきたが、具体的な構成は、この実施の形態及び実施例に限らず、その要旨を逸脱しない程度の設計的変更は、本開示に含まれる。

[0086]

ー例として、上述の実施の形態である観察装置 4 0 には 6 つの偏光生成部 6 0 を設けたが、これに代えて、入射光のストークス成分のうち $s_1 = \pm 1$ 、 $s_2 = 1$ 、 $s_3 = 1$ をそれぞれ生成する 4 つの偏光生成部 6 0 を設けてもよい。そして、これら 4 つの偏光生成部 6 0 のうち、 1 つの偏光生成部 6 0 は 1 / 4 波長板 6 3 を有する。

[0087]

[0088]

さらに、複数の偏光生成部60には光源26から順に光が切り替えられて入射されていたが、各々の偏光生成部60に周波数時分割した光を入射させてもよい。但し、あまり時分割の周期が長いと対象物の偏光度が変化してしまう可能性があるので、時分割の周期は 人間が視認できない程度のものであることが望ましい。

[0089]

また、偏光生成部60の配置位置は上述の各実施の形態に限定されず、検出部50の周囲に配置されていればよい。但し、イメージセンサ57の撮像面57aは通常矩形に形成されているので、観察装置40全体の小型化を考慮すると、上述の実施の形態のように検出部50の上下に、あるいは環状に偏光生成部60を配置することが好ましい。

[0090]

さらに、上述の実施の形態における偏光生成部60において、偏光板61及び発散レンズ62、さらには1/4波長板63を互いに接着させて一体化してもよい。この場合、一部の偏光板61(上述の実施の形態では61c~61f)の対象物側には1/4波長板63が設けられていない。そこで、1/4波長板63の分だけ偏光板61c~61fの厚みを加えれば、それぞれの偏光生成部60の光路長を等しくすることができる。

10

20

30

[0091]

同様に、光ファイバ15の出射端15aと偏光板61とを接着してもよい。

[0092]

また、偏光生成部60の偏光変換素子は、観察装置40の小型化という観点からすると、この偏光変換素子により得られる偏光状態が変化しない、つまりパッシブな偏光変換素子であることが好ましい。この観点から、上述の実施の形態では偏光板61を用いている。しかし、対象物に光を照射する時点だけ偏光状態が変化しなければ足りるので、例えば液晶素子を電気駆動して偏光状態を所定の状態に維持したものも偏光変換素子として用いることができる。

[0093]

更に、観察装置40を内視鏡装置10および内視鏡システム1に用いた例を示したが、これに代えて、観察装置40を顕微鏡に用いてもよい。この場合、顕微鏡の対物レンズとなる前群レンズ51の周囲に偏光板61、発散レンズ62、および、1/4波長板63の少なくとも一つが配置される。また、対物レンズとなる前群レンズ51の周囲に、上記したように複数の光源を配置してもよい。

【符号の説明】

[0094]

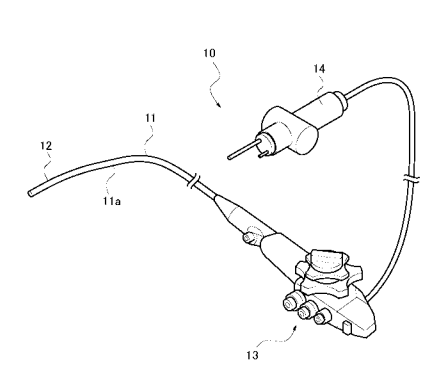
- 1 内視鏡システム
- 1 0 内視鏡装置
- 1 1 挿入部
- 1 1 a 管部材
- 1 2 先端部
- 15 光ファイバ
- 2 0 本体部
- 2 6 光源
- 4 0 、 1 4 0 観察装置
- 5 0 検出部
- 5 1 前群レンズ
- 5 3 偏光分離部
- 5 4 結像レンズ
- 5 5 偏光板
- 5 6 保護ガラス
- 57 イメージセンサ
- 5 7 a 撮像面
- 60偏光生成部
- 61、61a~61f 偏光板
- 62 発散レンズ
- 6 3 1 / 4 波長板

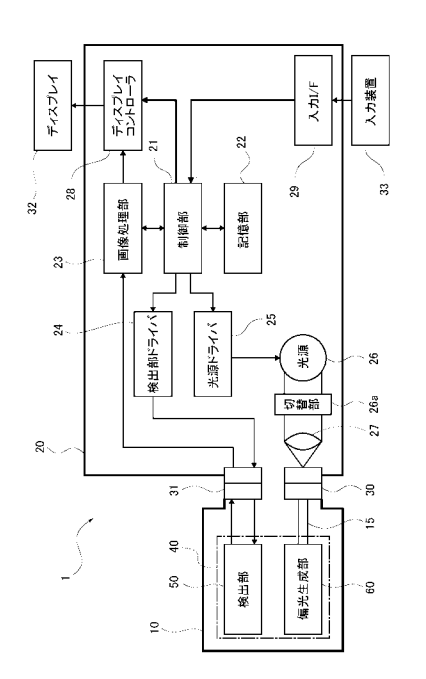
10

20

【図1】 【図2】

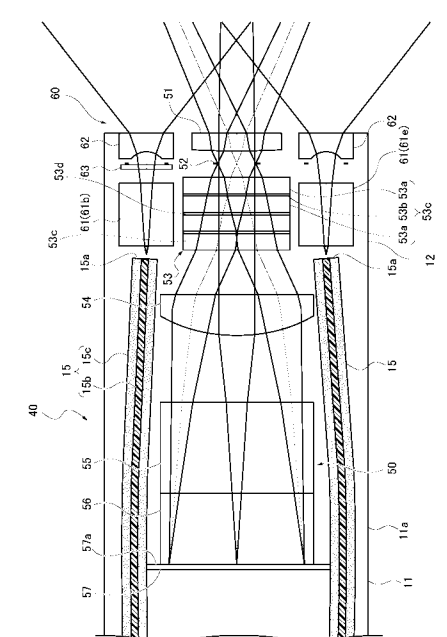
[図1] TSZ 30283 [図2] TSZ 30283

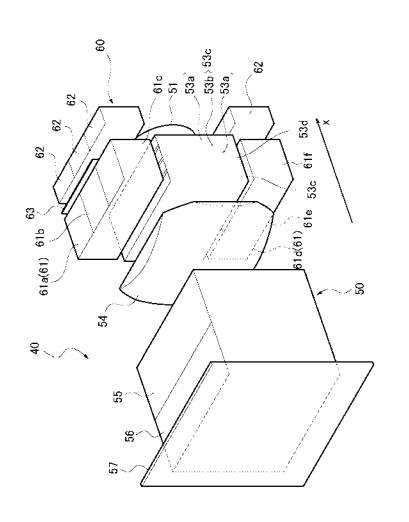




【図3】

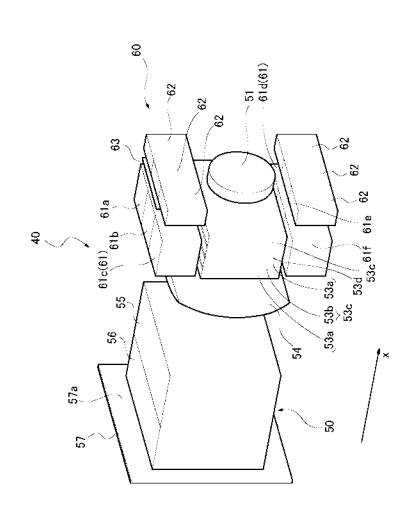
[図3] TSZ 30283 [図4] TSZ 30283

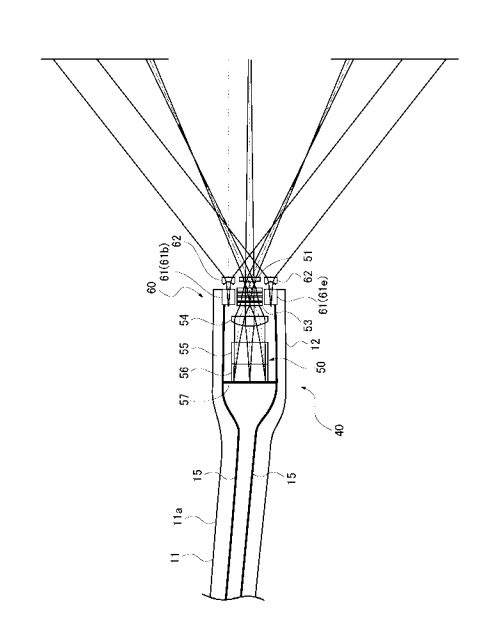




【図5】 【図6】

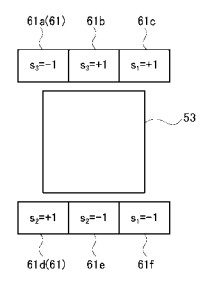
[図5] TSZ 30283 [図6] TSZ 30283

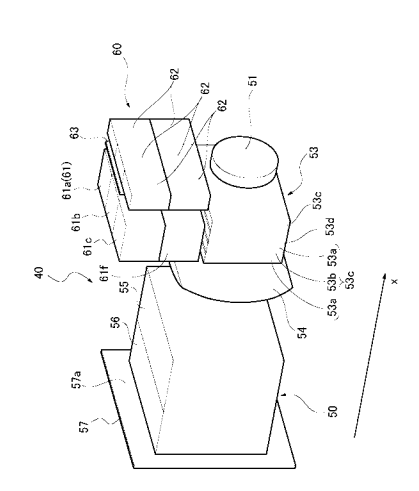




【図7】

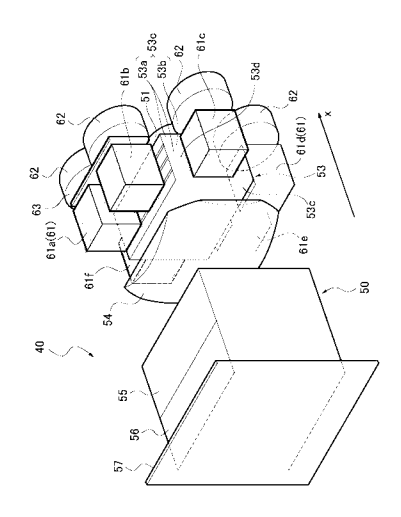
[図7] TSZ 30283 [図8] TSZ 30283

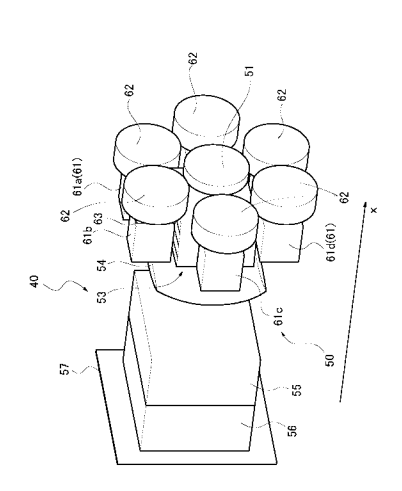




【図9】 【図10】

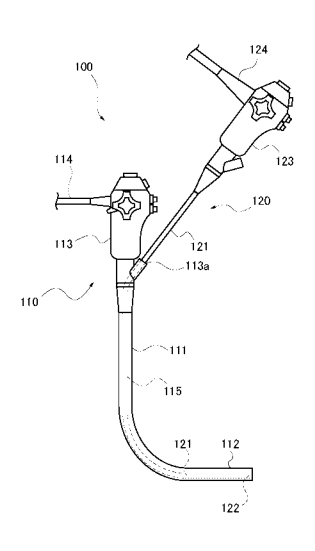
[図9] TSZ 30283 [図10] TSZ 30283

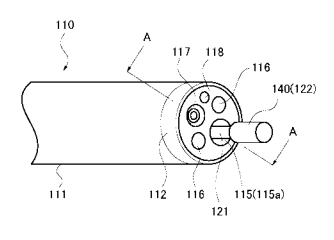




【図11】 【図12】

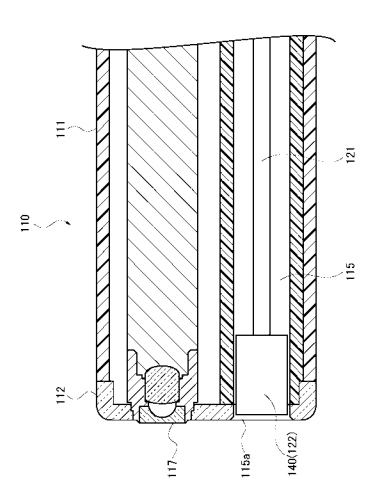
【図11】 TSZ 30283 【図12】 TSZ 30283





【図13】

【図13】 TSZ 30283



フロントページの続き

 (51) Int.Cl.
 F I

G 0 2 B 23/24 C

F ターム(参考) 2H040 BA11 BA23 CA04 CA11 CA22 GA02 GA11 4C161 AA01 CC06 DD03 FF40 LL02 NN09 PP11



专利名称(译)	观察装置,内窥镜装置以及内窥镜系	统			
公开(公告)号	JP2019208936A	公开(公告)日	2019-12-12		
申请号	JP2018108279	申请日	2018-06-06		
[标]申请(专利权)人(译)	株式会社尼康				
申请(专利权)人(译)	尼康公司				
[标]发明人	佐藤憲司 内川清 齋藤直洋 藤井透				
发明人	佐藤 憲司 内川 清 齋藤 直洋 藤井 透				
IPC分类号	A61B1/00 G02B23/24 G02B23/26				
FI分类号	A61B1/00.521 A61B1/00.731 A61B1/00.513 G02B23/24.B G02B23/26.B G02B23/24.C				
F-TERM分类号	2H040/BA11 2H040/BA23 2H040/CA04 2H040/CA11 2H040/CA22 2H040/GA02 2H040/GA11 4C161 /AA01 4C161/CC06 4C161/DD03 4C161/FF40 4C161/LL02 4C161/NN09 4C161/PP11				
外部链接	Espacenet				

摘要(译)

为了提供一种观察装置,其能够实现装置整体的小型化,并且能够应用于软内窥镜,内窥镜装置以及内窥镜系统。解决方案:观察装置40包括:多个用于产生光束的偏振光产生单元60。 在被照射到物体上时,偏振状态彼此不同的光束。 检测单元50,用于检测来自被摄体的光。 其中,多个偏振光产生单元60布置在检测单元50周围。因此,多个偏振光产生单元60可以用具有彼此不同的偏振态的光束照射物体,而无需提供用于旋转光束的结构。 旋转相位差板作为常规装置。 此外,通过检测单元50观察到来自物体的光的偏振态,这不需要在保持其偏振态的同时将从物体返回的光提取到内窥镜设备的外部。 因此,可以实现整个设备的小型化。图4:

